

ĐẶC TÍNH ĐIỆN HOÁ CỦA ĐIỆN CỰC Ti/RuO₂ CHẾ TẠO TỪ DẠNG SOL-GEL MUỐI RUTENI

Đến Tòa soạn 1-7-2008

NGUYỄN DUY KẾT, PHẠM THỊ PHƯỢNG, NGUYỄN ĐỨC HÙNG

Viện Hoá học Vật liệu

ABSTRACT

Ti/RuO₂ electrode formed by solgel of rutheniumsalt and thermal decomposition techniques on titanium was studied by using cyclic voltammetry and galvanodynamic polarisation in solution: H₂SO₄ 0.5 M and NaCl 3%. The electrocatalytic activity of Ti/RuO₂ electrode for the oxygen and chlorine evolution reaction depends on the properties of titanium surface, the temperature of heating treatment and the number of cyclic voltammetry. With the RuO₂ coated on the anodized titanium surface the electrocatalytic activity for oxygen and chlorine reaction is 5 time higher by 400°C. But the ratio of i_{Cl_2}/i_{O_2} is on the non anodized titanium surface in NaCl 3% is higher.

I - MỞ ĐẦU

Điện cực Ti phủ ôxít của các kim loại quý (DSA[®]) đã và đang được sử dụng rộng rãi trong ngành công nghiệp điện phân xút-clo. Nghiên cứu chế tạo điện cực Ti/RuO₂ trong nước có ý nghĩa quan trọng. Tính chất điện cực phụ thuộc nhiều vào thành phần lớp ôxít hoạt hoá và công nghệ chế tạo [1 - 3]. Lớp ôxít RuO₂ hoạt hoá của điện cực được hình thành qua quá trình phân huỷ nhiệt của muối RuCl₃. Để đưa muối RuCl₃ lên điện cực Ti kim loại có thể tiến hành theo 2 cách: 1- chuyển muối RuCl₃ vào dạng dung dịch [4 - 6], 2- chuyển muối RuCl₃ vào trong hệ sol-gel [7] rồi phủ lên điện cực. Khảo sát những đặc tính điện hóa của điện cực Ti/RuO₂ được chế tạo từ hệ sol-gel natrietylát nhằm mục đích chế tạo hoặc tái chế điện cực DSA[®] trong nước.

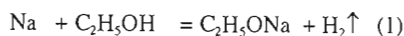
II - PHƯƠNG PHÁP THÍ NGHIỆM

*Các hoá chất sử dụng bao gồm: Muối ruteni clorua RuCl₃.2H₂O – CHLB Đức, C₂H₅OH, H₂SO₄, HF, HNO₃, HCl, H₂C₂O₄, NaF, NH₄F,

(NH₄)₂SO₄, Na₂SO₄ đều là hoá chất tinh khiết của Trung Quốc. Vật liệu được sử dụng làm nền điện cực là titan kim loại 99,5%, kích thước 50x10x1mm được tẩy dầu mỡ, xam thực trong dung dịch axit oxalic 1,5M H₂C₂O₄ [8]. Điện cực titan được anốt hóa trong dung dịch 1 M H₂SO₄ + 0,1 M HF + 0,2 M axit citric với thời gian 2 giờ ở điện thế 40V.

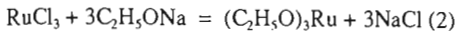
*Chế tạo hệ sol-gel

Dung môi tạo sol-gel cho các muối RuCl₃ là natrietylát. Dung dịch 1 M C₂H₅ONa được điều chế bằng cách cho 23 g Na tác dụng với 1 lít cồn tuyệt đối theo phản ứng:



Do phản ứng (1) xảy ra toả nhiệt mạnh, nên cần thả ít một natri kim loại vào cốc cồn tuyệt đối đã được làm lạnh. Phản ứng kết thúc khi không còn natri kim loại nổi trên bề mặt. Bổ sung cồn để định mức thành 1 lít dung dịch.

Hệ sol-gel của muối RuCl₃ được tạo thành khi cho 1mol RuCl₃ tác dụng với 3 mol C₂H₅ONa trong dung môi rượu theo phản ứng (2).



Phản ứng trong dung môi cồn tuyệt đối ở 78°C vì vậy cần thực hiện trong hệ thống kín có hồi lưu etylic bằng sinh hàn, thời gian phản ứng là 2 giờ để đạt được hệ sol-gel đồng nhất. Khi phản ứng kết thúc thu được hệ bao gồm: $\text{C}_2\text{H}_5\text{ONa}$, $(\text{C}_2\text{H}_5\text{O})_3\text{Ru}$ và NaCl . Nồng độ cực đại của $(\text{C}_2\text{H}_5\text{O})_3\text{Ru}$ trong rượu etylic xấp xỉ 0,2 M ở nhiệt độ phòng.

*Chế tạo điện cực Ti/RuO_2 từ hệ sol-gel natrietylrat

(1) Nhúng thanh Ti đã xử lý bề mặt vào dung dịch sol-gel trong thời gian 1 - 2 phút.

(2) Để khô tự nhiên 10 - 15 phút.

(3) Sấy khô màng ở nhiệt độ 90 - 100°C trong 15 - 20 phút.

(4) Nung trong lò điện ở nhiệt độ thử nghiệm là: 200, 300, 400, 600°C. Thời gian nung 20 phút.

(5) Sấy khô điện cực ở 90 - 100°C, thời gian 10 - 15 phút.

(6) Kết thúc nung lần cuối cùng thời gian kéo dài 1 giờ.

Quá trình từ 1 - 5 được lập đi lập lại 10 lần.

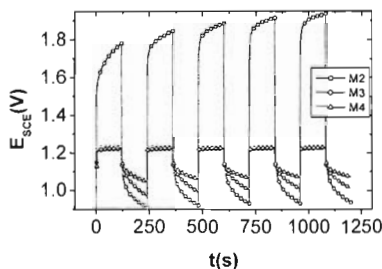
Điện cực $\text{Ti/TiO}_2\text{-RuO}_2$ sau chế tạo được cố định diện tích 1cm^2 bằng vecni và đo điện hóa bằng thiết bị Autolab PGS 30 của Hà Lan. Các phép đo dòng tĩnh (Galvanostatic-GS), thế vòng (Cyclic Voltametry-CV), thế tĩnh (Potentiostatic - PS) thực hiện trong các dung dịch 0,5 M H_2SO_4 và 3% NaCl tại nhiệt độ phòng với điện cực so sánh là calomen bão hòa. Dung lượng điện hóa của điện cực $\text{Ti/TiO}_2\text{-RuO}_2$ được xác định từ các kết quả đo CV. Dòng thoát ôxi (dung dịch 0,5 M H_2SO_4) và clo (dung dịch 3% NaCl) được xác định thông qua phép đo Potentiostatic tại điện áp 1,2 V (SCE) như tài liệu [3, 4].

III - KẾT QUẢ VÀ THẢO LUẬN

1. Khả năng hoạt hoá của điện cực trợ hệ Ti/RuO_2

Khả năng hoạt hoá và độ ổn định của điện cực khảo sát bằng phương pháp GS trong dung

dịch 0,5 M H_2SO_4 theo chế độ: đặt mật độ dòng không đổi là 2 mA/cm^2 thời gian 120s, sau đó ngắt dòng 120s liên tục 5 chu kỳ được trình bày trên hình 1. Hình 1 cho thấy, khi phân cực ở mật độ dòng $i = 2\text{ mA/cm}^2$ trong dung dịch 0,5 M H_2SO_4 điện thế trên điện cực nung ở nhiệt độ 200°C (M_2) cao nhất (1,9 V), còn ở 300°C (M_3) và 400°C (M_4) có điện thế xấp xỉ nhau 1,22 V. Trong khoảng thời gian 1200s đo phân cực theo phương pháp GS điện thế trên các điện cực M_3 và M_4 rất ổn định, trong khi điện cực M_2 có xu hướng tăng. Điều này chứng tỏ điện cực nung ở 300°C và 400°C có độ hoạt hoá và ổn định tốt hơn điện cực nung ở 200°C.



Hình 1: Đường GS của các điện cực Ti/RuO_2 trong 0,5 M H_2SO_4 , $i = 2\text{ mA/cm}^2$, $t = 120\text{ s}$ và $i = 0$, $t = 120\text{ s}$; nung: $M_2 = 200^\circ\text{C}$, $M_3 = 300^\circ\text{C}$, $M_4 = 400^\circ\text{C}$

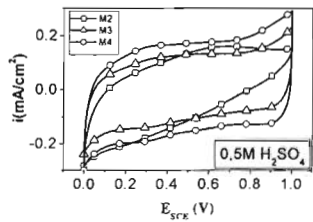
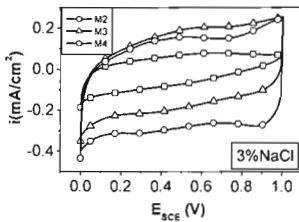
2. Ảnh hưởng nhiệt độ nung đến dung lượng hoạt hoá của điện cực Ti/RuO_2

Dung lượng hoạt hoá điện hoá của điện cực Ti/RuO_2 được xác định trong 2 môi trường 3% NaCl và 0,5 M H_2SO_4 bằng phương pháp phân cực CV với khoảng quét thế từ 0 - 1 V/SCE, vận tốc 50 mV/s kết quả trình bày trong hình 2.

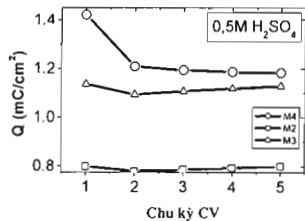
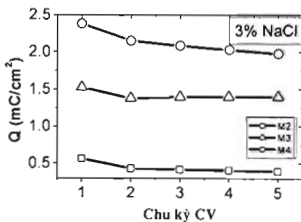
Trong khoảng thế từ 0 - 1 V/SCE trên điện cực xảy ra phản ứng ôxi hoá khử $\text{Ru}^{3+} \rightarrow \text{Ru}^{4+}$ là chủ yếu. Dung lượng Q xác định từ CV đặc trưng cho khả năng hoạt hoá điện hoá của điện cực được trình bày trong hình 3 cho thấy thứ tự hoạt hoá có thể xếp như sau $M_4 > M_3 > M_2$. Điện cực nung ở 400°C có dung lượng hoạt hoá cao nhất phù hợp với kết quả đã công bố [9]. Giá trị Q của điện cực M_4 lớn nhất tại chu kỳ 5 là $1,98\text{ mC/cm}^2$ (3% NaCl) và $1,18\text{ mC/cm}^2$ (0,5

M H₂SO₄). Hiện tượng hoạt hoá của điện cực thấp khi nung ở 200°C có thể do ở nhiệt độ này

các sol-gel của muối ruteniclorua (C₂H₅O)₃Ru chưa phân huỷ hết thành RuO₂.



Hình 2: Đường CV tại chu kỳ 5 của các điện cực Ti/RuO₂ trong 3% NaCl và 0,5M H₂SO₄, v = 50 mV/s với chế độ nung: M₂-200°C, M₃-300°C, M₄-400°C



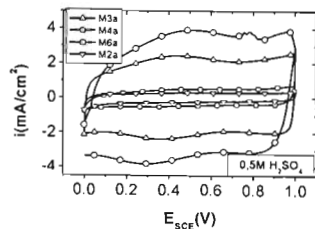
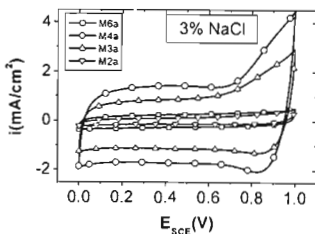
Hình 3: Dung lượng Q của các điện cực Ti/RuO₂ theo số chu kỳ quét CV do trong dung dịch 3% NaCl và 0,5M H₂SO₄

3. Ảnh hưởng của chế độ anot hoá nền Ti đến dung lượng hoạt hoá của điện cực Ti/RuO₂

Để tăng diện tích bề mặt, tăng khả năng hoạt hoá của điện cực nhiều nghiên cứu đã chứng minh cần anot hoá nền titan. Sau khi anot hoá bề mặt titan sẽ tạo lớp điôxit titan xốp, diện tích bề

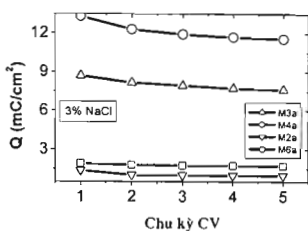
mặt tăng lên nhiều lần, các muối hoạt hoá trong sol-gel dễ bám chắc vào titan hơn nên điện cực sẽ có độ bền cơ học cao hơn.

Hình 4 là đường CV chu kỳ thứ 5 của các điện cực sau khi anot hóa do trong 2 môi trường 3% NaCl và 0,5 M H₂SO₄.



Hình 4: Đường CV, chu kỳ 5, do trong 3% NaCl, 0,5 M H₂SO₄, v = 50 mV/s, điện cực anot hoá, tẩm, nung: M_{2a}-200°C, M_{3a}-300°C, M_{4a}-400°C, M_{6a}-600°C

Dung lượng Q xác định từ CV đặc trưng cho khả năng hoạt hoá điện cực của điện cực RuO₂ trên nền titan anốt hoá được trình bày trong hình 5. Từ hình 5 ta thấy điện cực nung ở 400°C cho dung lượng hoạt hoá lớn nhất ở chu kỳ 5 tương ứng là 11,57 mC (3% NaCl) và 21,42 mC (0,5 M H₂SO₄). Điện cực nung ở nhiệt độ 200 và 600°C dung lượng giảm còn dưới 3 mC.



Hình 5: Dung lượng Q theo số chu kỳ quét CV, điện cực Ti/RuO₂ anốt hoá do trong dung dịch 3% NaCl và 0,5 M H₂SO₄

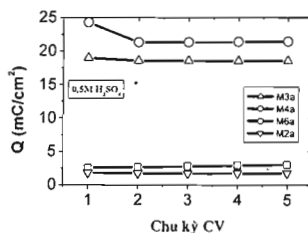
4. Khả năng hoạt hoá với phản ứng thoát clo của điện cực Ti/RuO₂

Khả năng hoạt hoá của điện cực Ti/TiO₂-RuO₂ đối với phản ứng thoát oxy và clo được nghiên cứu bằng phương pháp đo phân cực thế tĩnh ở điện thế 1,2 V/SCE [3, 4] là điện thế thoát oxy trong dung dịch 0,5 M H₂SO₄ và đồng thời thoát clo trong dung dịch 3% NaCl được trình bày trên hình 6.

Kết quả từ hình 6 cho thấy chế độ nung 400°C cho dòng hoạt hóa của điện cực cao nhất trong cả 2 dung dịch 0,5 M H₂SO₄ và 3% NaCl, trong đó điện cực được anốt hóa cao hơn nhiều lần. Tỷ lệ dòng thoát clo/dòng thoát ôxi của các điện cực không và có anốt hóa được trình bày tại bảng 1.

Nhóm điện cực không anốt hoá nền Ti giá trị dòng thoát clo và ôxi giảm dần theo thứ tự M₄ > M₃ > M₂. Giá trị này khá ổn định, tăng nhẹ

Như vậy dung lượng hoạt hoá của điện cực Ti/RuO₂ anốt hoá nền Ti tăng lên khoảng 5 lần so với điện cực không anốt hoá nền Ti (hình 3). Nguyên nhân là khi anốt hoá trên điện cực tạo nhiều lỗ xốp, nên diện tích bề mặt riêng tăng lên. Rutheni etylat ở dạng sol-gel có khả năng thấm sâu vào bên trong lỗ xốp tạo nên bề mặt riêng của điện cực lớn hơn rất nhiều so với điện cực không anốt hoá.



theo nhiệt độ nung trong khoảng 8,6 đến 9,4 lần. Nhóm điện cực có anốt hoá nền Ti giá trị này thấp hơn dao động trong khoảng 2,9 - 4,9 lần. Như vậy điện cực không anốt hoá cho dung lượng nhỏ hơn khoảng 5 lần nhưng lại cho dòng thoát clo/ôxi cao hơn 2 - 3 lần so với điện cực có anốt hoá.

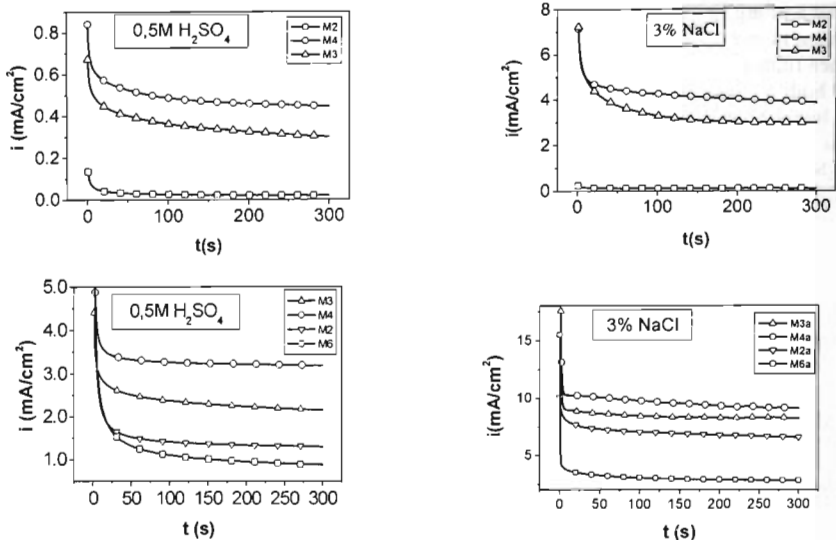
IV - KẾT LUẬN

Điện cực Ti/RuO₂ không anốt hoá cho dung lượng hoạt hoá thấp (< 2,5 mC/cm²). Với 3 nhiệt độ nung đã khảo sát là 200°C, 300°C và 400°C, điện cực nung ở 400°C là tốt nhất.

Điện cực Ti/RuO₂ anốt hoá có giá trị Q tăng lên khoảng 5 lần so với điện cực không anốt hoá, Q lớn nhất (21,42 mC) tại chu kỳ CV thứ 5 ở điện cực nung 400°C. Điện cực titan anốt hoá kém hoạt hoá với phản ứng thoát clo hơn điện cực không anốt hoá.

Bảng 1: Tỷ lệ dòng thoát clo/dòng thoát ôxi của điện cực Ti/TiO₂-RuO₂

Mẫu	Tỷ lệ dòng thoát clo/dòng thoát ôxi	Mẫu	Tỷ lệ dòng thoát clo/dòng thoát ôxi
M ₂	8,6	M _{2a}	4,9
M ₃	8,7	M _{3a}	3,7
M ₄	9,4	M _{4a}	2,9
		M _{6a}	3,0



Hình 6: Các đường quan hệ I-t của các điện cực Ti/TiO₂-RuO₂ do trong dung dịch 0,5M H₂SO₄ và 3% NaCl, E = 1,2V/SCE

TÀI LIỆU THAM KHẢO

1. Trịnh Xuân Sến, Trần Thanh Thủy, Nguyễn Thị Cẩm Hà, Nguyễn Thị Mai. Hội nghị chuyên ngành Điện hóa và ứng dụng, 122 - 128, Hà Nội (2003).
2. Nguyen Ngoc Phong, Phan Luong Cam, Nguyen Viet Hue. Proceedings of the 16th International Corrosion Conference, Beijing, China, 19 - 24 (2005).
3. Thomas F. O'Brien: Handbook of Chlor-Alkali Technology, Vol. 1, 211 - 241 Springer (2005).
4. John Moorhouse. Vol. 8, Proceeding of the 2000 London International Chlorine Symposium, SCI's Electrochemical Technology Group, London, 57 - 81 (2001).
5. L. Franke, K. Hertwig, J. Kardos, K. Wiesener. Elektrochemische Technologie und Verfahrenstechnik, Akademie-Verlag, Berlin (1984).
6. Giuseppe Bianchi, et al. Vave metal electrode with vave metal oxide semi-conductive face, coating having a chlorine discharge in said coating, US Patent No. 3.948.751 (1968), No. 4.003.817 (1977); No. 4.070.504 (1978); No. 4.318.795 (1982).
7. J. W. Kim, S. M. Park. Journal of the Electrochemical Society, 14 (3) 1075 - 1080 (1999).
8. Nguyen Duc Hung, Pham Thi Phuong, Nguyen Duy Ket, Nguyen Nhi Tru, Hoang Minh Duc. VAST-Proceedings: International scientific conference on chemistry for development and intergration, Hanoi, 12÷14 Sept., 838 - 845 (2008).
9. Waefler, Jean-Pierre, Katz Michael. Manufacture of oxygen evolving anodes with film forming metal base and katalytic oxide coating comprising ruthenium, European Patent EP 0135475 (1985).

Tác giả liên hệ: **Nguyễn Đức Hùng**

Viện Hóa học - Vật liệu, Viện Khoa học và Kỹ thuật Quân sự